

16/10/2002

①

אסטרונומיה וקוסמולוגיה - פרטים אודות גלקסיה

מרחק כדור"ל - שמש: המרחק הנוכחי כ- 1 AU (Astronomical Unit)  
 היום נמדד במ"מ, אך עדיין נהוג להשתמש בהגדרה האסטרונומית של השמש.  
 מדידתו של אדווין האבל בשנות ה-20 קבעה את קצב התרחבות היקום:



$$1 \text{ AU} \approx \frac{17.6''}{\frac{3600 \cdot 57.3}{100} \text{ rad}} = 2 \cdot 6400 \text{ km} \rightarrow 1 \text{ AU} = 149.6 \cdot 10^6 \text{ km}$$

כאשר נמדדו קצב התרחבות היקום והמרחק של הגלקסיה (redshift) הוכחה שהיא מתרחקת מאתנו.

קצב התרחבות היקום:

קצב התרחבות היקום של השמש הוא  $H_0$  (Hubble constant) כדור"ל בשנה:

$$F_0 = 1.376 \cdot 10^6 \text{ erg/cm}^2\text{sec} \approx \text{Solar constant.}$$

קצב התרחבות היקום של השמש הוא:

$$L_0 = 4\pi R^2 F_0 = (4\pi) (1.49 \cdot 10^8 \cdot 10^5 \text{ cm})^2 \cdot 1.376 \cdot 10^6 \frac{\text{erg}}{\text{cm}^2\text{sec}} = 3.85 \cdot 10^{33} \frac{\text{erg}}{\text{sec}}$$

אנרגיית השמש:

אנרגיית השמש נמדדת בקילואטון בשנה (קט"ש) או ג'ול בשנה (ג'ש):

$$M_0 \frac{v^2}{R} = \frac{G M_0 M_0}{R^2} \Rightarrow M_0 = \frac{(2\pi)^2 R^3}{G P^2} = \frac{(2\pi)^2 (150 \cdot 10^6)^3}{2.667 \cdot 10^{-8} (3.2 \cdot 10^7)^2 \cdot 8^2}$$

$\frac{M_0 v^2}{R}$  כוח מרכזי  
 $\frac{G M_0 M_0}{R^2}$  כוח כבידה  
 $M_0$  מסת השמש  
 $R$  רדיוס השמש  
 $G$  קבוע הכבידה  
 $P$  פרק זמן של סיבוב

$$+ v = \frac{2\pi R}{P}$$

$$= 2 \cdot 10^{33} \text{ ג'ש}$$

⊙

התקנת ה-UBV היחסית וההתאמה

$$f_{\lambda} = \frac{\text{היחידה}}{\text{השטח של הפסוק}} \cdot \text{ההתאמה}$$

התקנת ההארה וההתאמה של ה-UBV

$$F = \int f_{\lambda} d\lambda$$

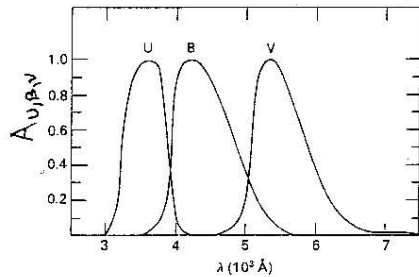
התקנת ההארה וההתאמה

התקנת ההארה וההתאמה של ה-UBV (התאמה)

$$F_F = \int f_{\lambda} A_F(\lambda) d\lambda$$

התקנת ההארה וההתאמה של ה-UBV

U - Ultraviolet (3650 Å) B - Blue (4400 Å) V - Visible (5480 Å) : ההתאמה וההתאמה של ה-UBV



התקנת ההארה וההתאמה של ה-UBV

Fig. 1.4. Sensitivity curves for the receiving instruments to measure UB magnitudes. (From Johnson, 1965.)

Böhm-Vitense-N

התקנת ההארה וההתאמה

התקנת ההארה וההתאמה של ה-UBV (magnitude)

$$M_1 - M_2 = -2.5 \log_{10} \frac{f_1}{f_2}$$

התקנת ההארה וההתאמה של ה-UBV

$$M_{1,F} - M_{2,F} = -2.5 \log_{10} \frac{f_{1,F}}{f_{2,F}}$$

התקנת ההארה וההתאמה של ה-UBV

$$M(\text{Vega}^*) = 0$$

התקנת ההארה וההתאמה של ה-UBV

התקנת ההארה וההתאמה של ה-UBV (Contact - Good) α Lyra ו- Vega

התקנת ההארה וההתאמה של ה-UBV (Vega)  $M_F(\text{Vega}) = \pm 0.02$

3

האם ניתן להבחין בין כוכבים שונים באמצעות מדידת המרחק? (אפשרות) → כוכבים שונים → מרחק שונה → הפרש מרחק.

$$M = 0 \rightarrow Vega$$

$$M = -1.6 \rightarrow Sirius \text{ "כוכב הלילה"}$$

$$M = +6 \rightarrow \begin{matrix} \text{השמש} \\ \text{כוכב הלילה} \\ \text{הכי רחוק} \end{matrix}$$

$$M = -26.83 \rightarrow Deneb$$

הפרש מרחק:

$$M = m \text{ for star @ 10 pc}$$

$$M_{sun} = M_0 = m + 2.5 \log_{10} \left( \frac{10 \text{ pc}}{1 \text{ AU}} \right)^2$$

הפרש מרחק

האם ניתן להבחין בין כוכבים שונים באמצעות מדידת המרחק? (אפשרות) → כוכבים שונים → מרחק שונה → הפרש מרחק.

10 pc או 10 pc?

1"



$$1 \text{ pc} = 57.3 \times 3600 \cdot \text{AU} = 3.26 \text{ (lyr = שנה אור)} \\ \text{"/rad} \quad \text{"/o}$$

הפרש

$$M_{sun} = -26.83 + 5 \log_{10} (57.3 \times 3600) = -4.74$$

4

ענן אסטרונומי

הקרינה הנפלטת מהענן היא כגוף שחור

$$dL = \sigma T^4, \quad \sigma = 5.67 \times 10^{-5} \text{ erg cm}^{-2} \text{ s}^{-1} \text{ K}^{-4}$$

הענן הוא כגוף שחור, ולכן ניתן להשתמש בנוסחה של הקרינה של גוף שחור.  $L = 4\pi R^2 \sigma T_{\text{eff}}^4$

$$L = 4\pi R^2 \sigma T_{\text{eff}}^4$$

הרדיוס של הענן הוא  $R = 6.96 \times 10^{10} \text{ cm}$

$$R = 6.96 \times 10^{10} \text{ cm}$$

$$T_{\text{eff}}^4 = \frac{L}{4\pi R^2 \sigma} \rightarrow T_{\text{eff}} = 5800 \text{ K}$$

הענן

הקרינה הנפלטת מהענן היא כגוף שחור

הענן

הקרינה הנפלטת מהענן היא כגוף שחור

$$B - V = m_B - m_V = \text{const}$$

הקרינה הנפלטת מהענן היא כגוף שחור

הקרינה הנפלטת מהענן היא כגוף שחור

הקרינה הנפלטת מהענן היא כגוף שחור

הקרינה הנפלטת מהענן היא כגוף שחור

$$f \propto \exp(-hc/\lambda kT)$$

$$m_B - m_V = \text{const} - 2.5 \log_{10} \left\{ \frac{\exp(-hc/\lambda_B kT)}{\exp(-hc/\lambda_V kT)} \right\} = 2.5 \log_{10} \left( \frac{\lambda_V}{\lambda_B} \right) + \text{const}$$

הקרינה הנפלטת מהענן היא כגוף שחור

$$B - V = 0 \iff T_c = 7600 \text{ K}$$

הקרינה הנפלטת מהענן היא כגוף שחור



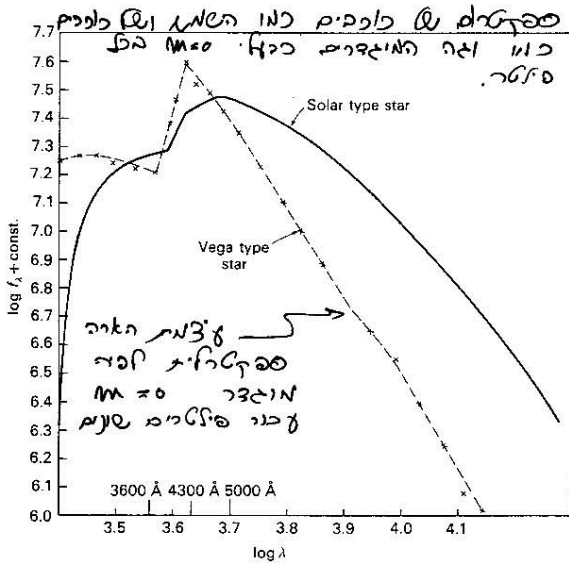


Fig. 1.3.  $\log f_\lambda + \text{const.}$  for Vega is again shown as a function of wavelength. Also shown is the relative energy distribution of a star like the sun. This star is assumed to be at a distance such that its brightness in the visual is the same as that of Vega. We see that it then has much less flux than Vega in the blue wavelength region around 4300 Å. Its  $m_b$  must then be larger than zero. For this star  $B - V \sim 0.6 > 0$ .

Böhm-Vitense - 1

העברת שני ספקטרום שונים  
Table 4.5.1. Classification of stellar spectra

Spectral Type	Temperature [K]	Criteria for Classification
O	50000	Lines of highly ionized atoms: He II, Si IV, N III ...; hydrogen H relatively weak; occasionally emission lines.
B0	25000	He II not present; He I strong; Si III, O II; H stronger.
A0	10000	He I not present; H at maximum; Mg II, Si II strong, Fe II, Ti II weak; Ca II weak.
F0	7600	H weaker; Ca II strong; the ionized metals, e.g. Fe II, Ti II had their maxima at about A5; the neutral metals, e.g. Fe I, Ca I have about the same strength here.
G0	6000	Ca II very strong; neutral metals Fe I etc. strong.
K0	5100	H relatively weak, neutral atomic lines strong; molecular bands.
M0	3600	Neutral atom lines, e.g. Ca I, very strong; TiO bands.
M5	3000	Ca I very strong; TiO bands stronger.
C	3000	Strong CN-, CH-, and C <sub>2</sub> -bands; TiO not present. Neutral metals as with K and M.
S	3000	Strong ZrO-, YO-, LaO-bands; neutral atoms as with K and M.

Unsöld & Ba. - 1

H-R

Hertzsprung-Russell Diagram and the Color-Magnitude Diagram 131

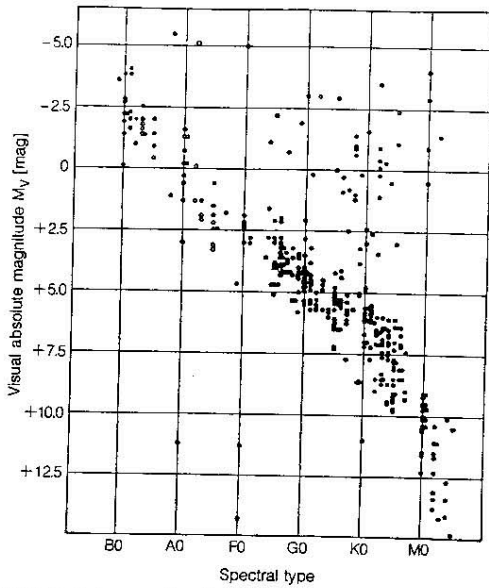


Fig. 4.5.1. Hertzsprung-Russell diagram. The visual absolute magnitude  $M_v$  is plotted against spectral type. The Sun corresponds to  $M_v = 4.8$  mag and type G2. The points (●) represent stars within 20 pc with reliable parallaxes. For the rarer stars having larger absolute magnitudes (○), along with the trigonometric parallaxes, spectroscopic and cluster parallaxes were also employed

Unsöld & Baschok

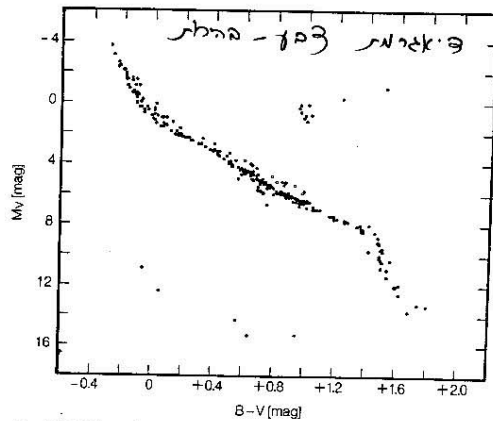


Fig. 4.5.2. The color-magnitude diagram with  $M_v$  plotted against  $B-V$  according to H.L. Johnson and W.W. Morgan; it contains main sequence stars with trigonometric parallaxes  $p \geq 0.10''$  and those from several galactic star clusters with well-known parallaxes, interstellar absorption and reddening. In addition, five white dwarfs (lower left) and several yellow giants (upper right) are also plotted. The stars from Praesepe which lie above the main sequence are probably binary stars